

# Физические процессы в области главного ионосферного провала

Сборник статей семинара проектов №5 и 6 КАПГ  
Прага, 28.-31. марта 1983

# Physical processes in the main ionospheric trough region

Proceedings of the Symposium organized by KAPG projects 5 and 6  
Praha, 28-31 March 1983

## РЕДАКЦИЯ:

Проф. д-р Ф.М.Н. Н.П.ВЕНЬКОВА  
Институт земного магнетизма, ионосфера  
и распространения радиоволн АН СССР

Prof. Dr C.-U.WAGNER  
Zentralinstitut für Solar-Terrestrische  
Physik AdW der DDR

Ing. L.TŘÍSKOVÁ, CSc  
Geofyzikální ústav ČSAV

Geofyzikální ústav ČSAV  
141 31 PRAHA 4 - Spořilov

## ДИНАМИКА ИОНОСФЕРНОГО ПРОВАЛА И КОЛЬЦЕВОГО ТОКА ПО ДАННЫМ ОДНОВРЕМЕННЫХ СПУТНИКОВЫХ И НАЗЕМНЫХ ИЗМЕРЕНИЙ

А.С.Беспроводная, Г.Л.Гдалевич, В.Д.Озеров (АНИИ, ИКИ АН СССР),  
Э.Н.Сосновец, Л.В.Тверская, О.З.Лорошева (НИИФ МГУ)

**Резюме:** Показано, что во время бури 1 - 2 декабря 1977 г. в утреннем секторе кромка кольцевого тока наблюдалась на  $L$  - оболочках, расположенных вне плазмосфера ( $\Delta L \gtrsim 2$ ), поэтому потери кольцевого тока не могут быть связаны с процессами взаимодействия горячей и холодной плазмы на плазмопаузе. В вечернем секторе кольцевой ток находился внутри или волнил плазмопаузы и потери кольцевого тока могут происходить в процесс такого взаимодействия. Анализ одновременных спутниковых и наземных данных позволил выявить структурные изменения ионизации на полярной стапле провала в магнитоактивные периоды.

### 1. Введение

В последние годы проблема ионосферно-магнитосферного взаимодействия стала одним из ведущих направлений в исследовании физики ионосферы и магнитосферы. Значительное место в этой проблеме занимает взаимодействие плазменного слоя/кольцевого тока с плазмосферой. В настоящее время установлено, что на поверхности, разграничившей эти области магнитосферной плазмы (на плазмопаузе), происходят очень сложные, еще мало изученные процессы, влияющие как на состояние холодной, так и горячей плазмы. Ярким проявлением этого взаимодействия являются изменение питч-углового распределения протонов кольцевого тока, интенсивный разогрев ионосферной плазмы, ускорение ионов  $O^+$  и провалы в плотности легких ионов и электронной концентрации на высотах слоя F2.

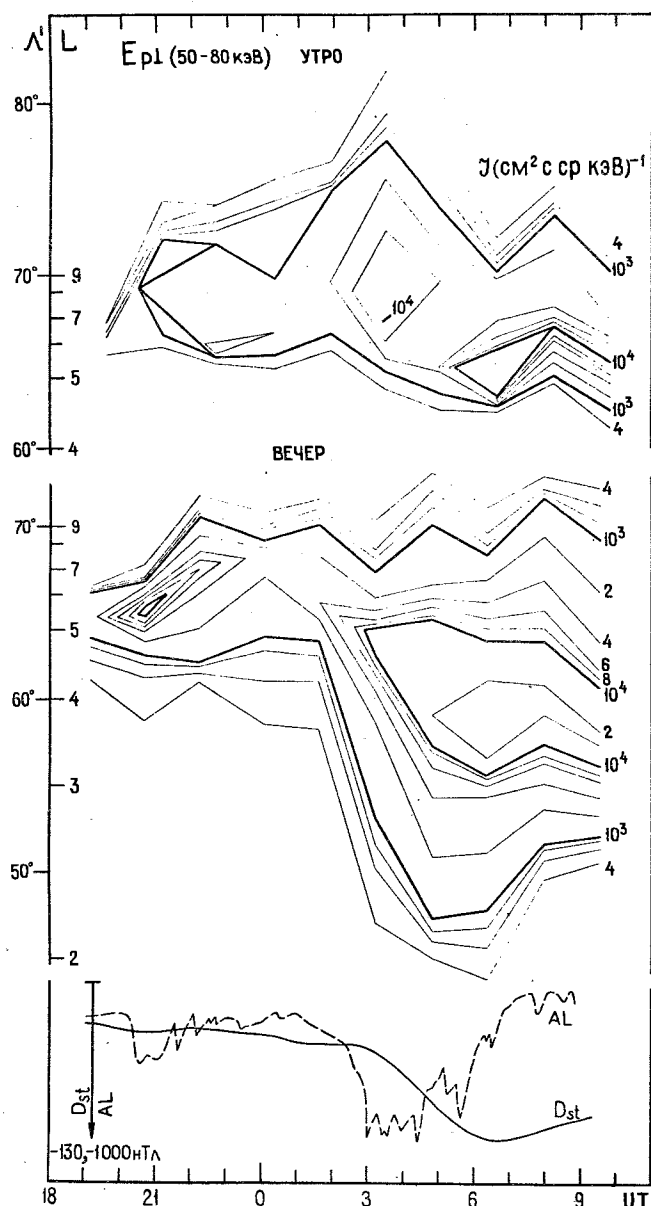
Важным этапом в выяснении природы этих процессов является исследование динамики частиц кольцевого тока и характеристик тепловой плазмы. Результаты таких исследований достаточно широко представлены в литературе, однако только в единичных работах проводится одновременный анализ параметров горячей и холодной плазмы.

### 2. Анализ данных

В настоящей работе приводятся результаты анализа одновременных измерений протонов кольцевого тока и ионной концентрации во внешней ионосфере на спутнике "Космос-900", а также наземных данных по вертикальному зондированию ионосферы во время бури 1 - 2 декабря 1977 года. Спутник имел круговую орбиту с высотой 500 км, наклонением  $83^\circ$  и периодом обращения 94,4 мин. Протоны кольцевого тока с  $E_p = 50 - 80$  кэВ измерялись с помощью дифференциального полупроводникового спектрометра, плотность тепловой плазмы - трехэлектродной ионной ловушкой с "плавающим" потенциалом внешней сетки. Анализ проводится по 10 пролетам спутника с 19 ч UT 1 декабря по 10 ч UT 2 декабря 1977 г., соответствующих развитию большой мировой бури с максимальным значением  $K_p = 7+$  и  $D_{st} = -123$  нт. В этот период спутник пролетал в восходно-заходном секторах, около 4 - 6 ч MLT на утренней и 16 - 19 ч MLT на вечерней стороне.

**Динамика кольцевого тока.** На фиг. I приведены распределения по широте интенсивности протонов в ходе бури в утреннем и вечернем секторах. В нижней части дан ход  $\Delta L$ ,  $D_{st}$  - индексов. Как видно из рисунка, с началом главной фазы бури на вечерней стороне наблюдалось резкое продвижение кольцевого тока в глубь магнитосферы. В  $\sim 3$  ч UT внутренняя кромка кольцевого тока (место, где интенсивность протонов уменьшается на порядок)

опустилась до  $\Lambda' \approx 57^\circ$ , что соответствует  $L \approx 3,4$ , а вблизи максимума главной фазы достигла  $\Lambda' \approx 53^\circ$  ( $L = 2,7$ ).



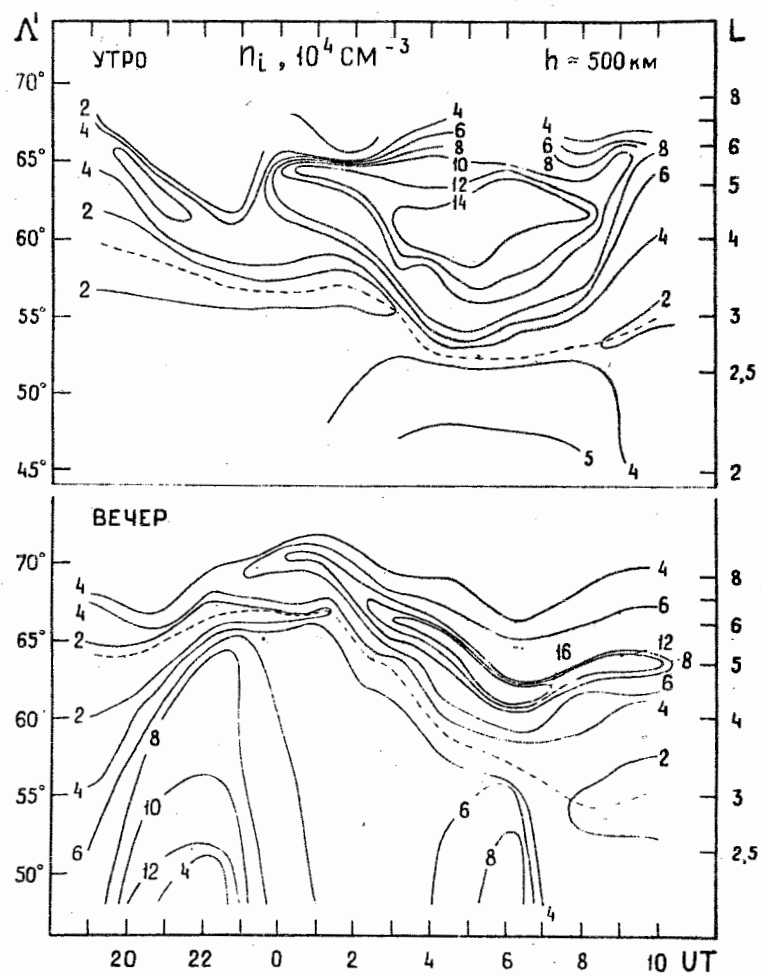
Фиг. I

Распределение в ходе бури интенсивности протонов кольцевого тока на высоте 500 км в утреннем и вечернем секторах магнитосфера в координатах инвариантная широта - мировое время.

На утренней стороне вариации в положении кольцевого тока в ходе бури значительно менее выражены, и кромка кольцевого тока даже вблизи максимума главной фазы не опускалась ниже  $\Lambda' \approx 61^\circ$  ( $L \approx 4,2$ ).

В работе [I], где детально представлена динамика кольцевого тока во время этой бури, подчеркивается, что максимальная интенсивность кольцевого тока в утреннем и вечернем секторах была в ходе бури примерно одинаковой, так что асимметрия проявилась, в основном, в положении кольцевого тока в пространстве.

Динамика ионосферного провала. Изменение в ходе бури ионной концентрации на высоте  $\sim 500$  км представлено на фиг. 2. Графики даны в единицах  $10^4 \text{ см}^{-3}$ . Пунктиром отмечено положение минимума в широтном ходе  $\Pi_1$ . Из рисунка видно, что во-первых, с началом главной фазы бури началось резкое смещение минимума на низкие широты, во-вторых,

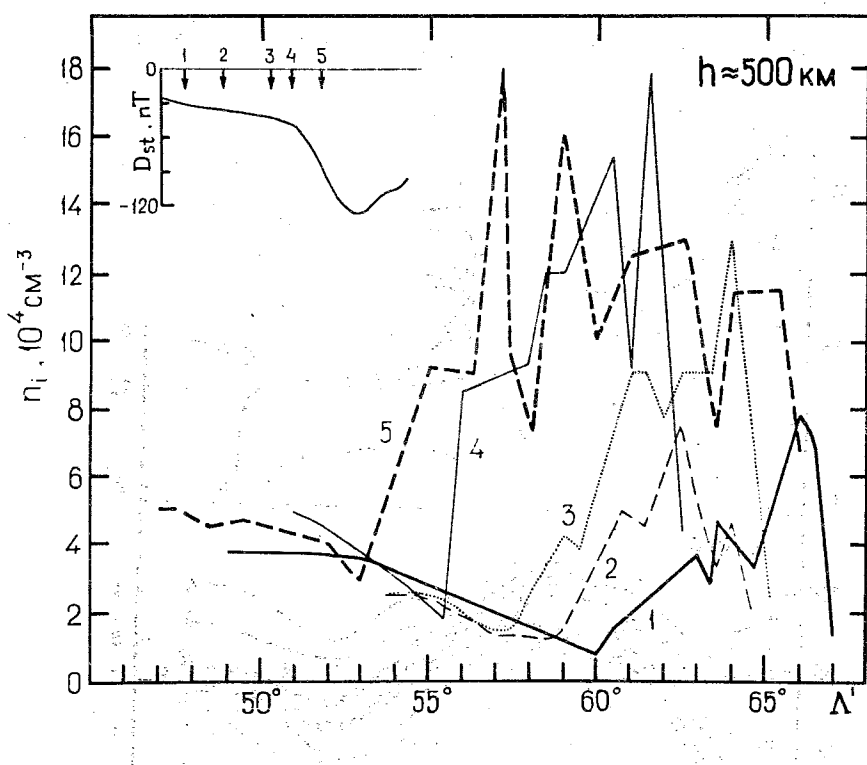


Фиг. 2

Распределение в ходе бури концентрации ионов в утреннем и вечернем секторах на высоте 500 км в координатах инвариантная широта - мировое время.

на авроральных широтах уровень ионизации значительно повысился (в > 3 раза). Уход минимума ионизации на низкие широты вызван перемещением к экватору границы повышенной ионизации в слое F2, формирующей северную стенку провала. Особенно отчетливо это видно на фиг. 3, где даны широтные профили в утреннем секторе для пяти пролетов, приходящихся на разные фазы бури. Четко выражено сползание полярной стенки провала в низкие широты в ходе бури. Основание полярной стенки сместилось с  $60^\circ$ , где она находилась перед началом бури (профиль I) до  $53^\circ$  вблизи максимума главной фазы (профиль 5). Следует отметить, что по мере перемещения на более низкие широты северной стенки провала, минимальное значение  $N_i$  в провале увеличилось от  $0,8 \cdot 10^4$  на  $\Lambda \approx 60^\circ$  до  $3,0 \cdot 10^4 \text{ см}^{-3}$  на  $\Lambda \approx 53^\circ$ , что соответствует уровню концентрации ионосферной плазмы на этих широтах в спокойных условиях.

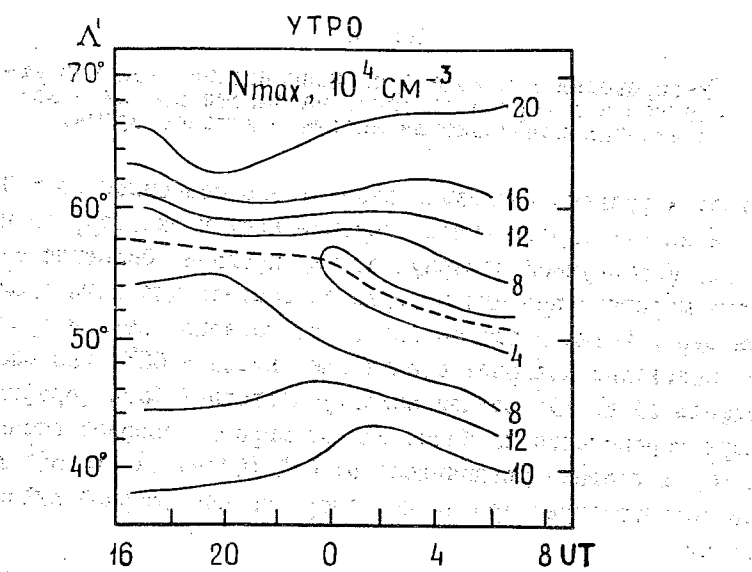
На фиг. 4 дан широтно-временной профиль электронной концентрации в максимуме слоя F2 ( $N_{max}$ ) для утреннего сектора, построенный по данным 38 станций вертикального зондирования, с  $\Lambda' > 40^\circ$ . Так же, как и на высоте 500 км, на высотах максимума слоя F2 наблюдается смещение к экватору ионосферного провала с началом главной фазы бури. Однако в широтно-временной зависимости  $N_{max}$  отсутствует то увеличение электронной плотности в авроральной зоне, которое наблюдается на высоте 500 км в ходе бури (фиг. 2 и фиг. 3). Этот факт указывает на то, что повышение ионизации на  $h = 500$  км во время бури свиде-



ФИГ. 3

Широтные профили концентрации ионов в утреннем секторе на высоте 500 км на фазе развития магнитной бури.  
Цифры у кривых обозначают моменты соответствующих про-  
летов спутника, отмеченных на врезке стрелками.

Фиг. 3. Утро 16.08.1968 г. 16-20-04-08-04-08

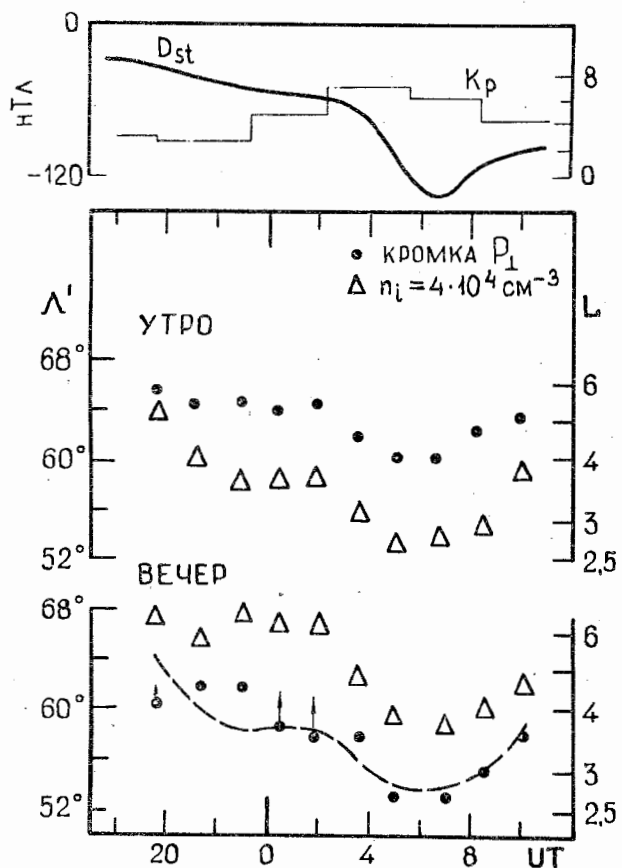


ФИГ. 4

Распределение в ходе бури электронной концентрации в максимуме слоя Р2 в ут-  
реннем секторе в координатах инвариан-  
тная широта - мировое время.

тельствует скорее о перестройке профиля  $N_e$  на северной стенке провала, чем об увеличении интенсивности ионизирующего агента. Изменение структурных характеристик севернее провала в активные периоды подтверждается также увеличением крутизны полярной стенки. Градиент ионизации на полярной кромке возрастает почти на полпорядка (фиг. 3).

Сопоставление положения кольцевого тока и ионосферного провала. На фиг. 5 приведено изменение в ходе бури положения кромки кольцевого тока и основания полярной стенки провала ( $4 \cdot 10^4 \text{ см}^{-3}$ ) по данным "Космоса-900" для утреннего и вечернего секторов. В верхней части фигуры даны вариации  $K_p$  и  $Dst$ -индексов. В вечернем секторе кромка кольцевого тока проходит на  $5 - 6^\circ$  экваториальнее северной стенки провала (линия — положение стенки в утреннем секторе). В утреннем секторе, наоборот, северная стенка провала лежит на  $5 - 7^\circ$  экваториальнее кромки кольцевого тока.



Фиг. 5

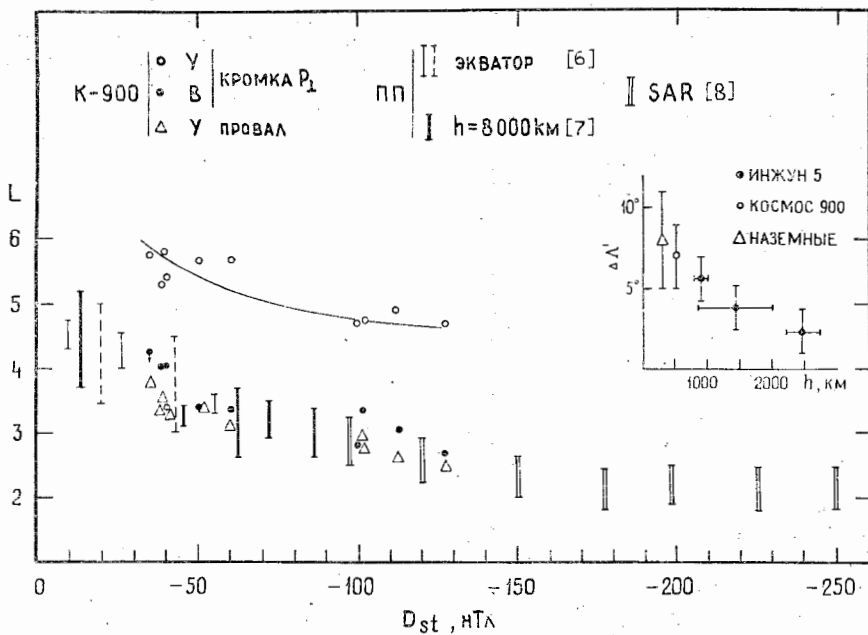
Изменение в ходе бури положения внутренней кромки кольцевого тока и основания полярной стенки провала в утреннем и вечернем секторах на высоте 500 км.

В настоящее время установлено, что на высотах ниже 1500 км положение минимума в широтном ходе электронной концентрации определяется положением экваториальной границы высыпания мягких электронов [2], совпадающей с экваториальной границей диффузных сияний. В работе [3] показано, что в ночном секторе эта граница в магнитно-активные периоды определяет положение плазмопаузы. Поскольку в ночном и утреннем секторах плазмопауза расположена на наиболее низких  $L$ -оболочках [4], представленные на фиг. 5 данные позволяют сделать следующие выводы.

1. В утреннем секторе кромка кольцевого тока находится на  $L$ -оболочках, расположенных вне плазмосферы ( $\Delta L \gtrsim 2$ ), поэтому потери кольцевого тока не связаны с процессами взаимодействия на плазмопаузе.
2. В вечернем секторе кольцевой ток находится внутри или вблизи плазмопаузы и поэтому эрозия кольцевого тока происходит в процессе взаимодействия горячей и холодной

плазмы на плазмопаузе [5].

На фиг. 6 приведены положения кромки колыцевого тока на утренней и вечерней сторонах, а также положение минимума в широтном ходе  $\pi$ ; на высоте 500 км в зависимости от  $D_{st}$ . Здесь же даны вариации в положении плазмопаузы в ночном секторе и SAR дуг по данным, представленным в работах [6-8]. Хорошо видно, что в утренние часы провал ложится на те же  $L$ -оболочки, что и плазмопауза; кромка же колыцевого тока находится на значительно более высоких  $L$ . Разность в широтах  $\Delta L' = L'_{к.т.} - L'_{и.р.}$  составляет в среднем  $\sim 7^{\circ}$  (фиг. 5). На высотах максимума сияния F2 она еще больше  $\sim 8^{\circ}$ . На врезке фиг. 6 приведены полученные нами разности и разности между положением колыцевого тока и максимумом Te провала, полученные в работе [3] на разных высотах по данным спутников Инжун-5. Согласно этой зависимости в ночном секторе передача тепла от колыцевого тока идет не по силовой линии, а смещается в сторону более низких  $L$  по мере уменьшения высоты.



Фиг. 6

Зависимость от  $D_{st}$  положения внутренней кромки колыцевого тока в утренней (Y) и вечерней (B) секторах и минимума концентрации ионов в утреннем секторе на высоте 500 км.

На врезке — высотная зависимость разности широт колыцевого тока и ионосферного провала в послеполуденном секторе.

Одним из возможных объяснений наблюдаемой особенности связи колыцевого тока с провалом на утренней стороне может быть взаимодействие горячей плазмы с отторженной холодной плазмой, которая в процессе дрейфа под действием западного электрического поля перемещается на более низкие оболочки. Это принципиально отличается от характера взаимодействия колыцевого тока с холодной плазмой на вечерней стороне, где колыцевой ток проникает глубоко внутрь магнитосферы, и процессы потерь связаны с плазмопаузой.

### 3. Заключение.

По данным ИСЗ "Космос-900" проведено сопоставление динамики горячей плазмы колыце-

1977 г. Показано, что в вечернем секторе потери колышевого тока определяются взаимодействием горячей плазмы с холодной плазмой на плазмопаузе. В утреннем секторе потери колышевого тока определяются взаимодействием его с отторженной холодной плазмой, на расстоянии  $\gtrsim 2L$  от плазмопаузы. Разность между колышевым током и превалом в этом секторе изменяется с высотой, подчиняясь зависимости типа  $e^{-d}$ .

Анализ одновременных спутниковых и наземных данных позволил выявить структурные изменения ионизации на полярной стени провала в магнитоактивные периоды.

- 1 Т.И.Морозова и др., Геомагнетизм и аэрономия, 1982, 22, 608.
- 2 M. Ahmed, R.C. Sagalyn et al. J. Geophys. Res., 1979, 84, 489.
- 3 Р.И.Гальперин и др., Космические исследования, 1977, 15, 421.
- 4 К.И.Грингауз, В.В.Безруких, Геомагнетизм и аэрономия, 1977, 17, 784.
- 5 J.M. Cornwall, F.V. Coroniti et al. J. Geophys. Res., 1971, 76, 4428.
- 6 N.C. Maynard, J.M. Grebovsky. J. Geophys. Res., 1977, 82, 1591.
- 7 F.J. Rich et al. World Data Center A. Report UAG-83A, pt. 1, 1982, 198.
- 8 С.А.Зализева, Н.И.Пудовкин, В.В.Драхлов, В.Н.Дьяченко, Геомагнетизм и аэрономия, 1971, 11, 853.
- 9 W.J. Burke, H.J. Braun et al. Planct. Space Sci., 1979, 27, 1175.